

УДК 539.193

ОСОБЕННОСТИ ЭЛЕКТРОННОЙ СТРУКТУРЫ ТЕТРАКАРБОКСИЛАТОВ РУТЕНИЯ С АКСИАЛЬНО КООРДИНИРОВАННЫМ ОКСИДОМ АЗОТА(II)

© 2007 **О.В. Сизова***, **Л.В. Скрипников**, **А.Ю. Соколов**, **О.О. Любимова**

Санкт-Петербургский государственный университет

Статья поступила 13 марта 2006 г.

На основе расчетов методом функционала плотности с полной оптимизацией геометрии проанализирована электронная структура тетракарбоксилатов рутения $\text{Ru}_2(\mu\text{-O}_2\text{CR})_4$, $\text{Ru}_2(\mu\text{-O}_2\text{CR})_4(\text{L})_2$ и $\text{Ru}_2(\mu\text{-O}_2\text{CR})_4(\text{NO})_2$ ($\text{R} = \text{H}, \text{CH}_3, \text{CF}_3; \text{L} = \text{H}_2\text{O}, \text{THF}$). Сделан вывод о том, что аксиальная координация оксида азота(II) к $\text{Ru}_2(\mu\text{-O}_2\text{CR})_4$ сопровождается разрушением π -связи металл–металл с переориентацией $d_{\pi}\text{-AO}$ Ru на образование связей с молекулами NO.

Ключевые слова: теория функционала плотности, тетракарбоксилаты, рутений, оксид азота(II).

ВВЕДЕНИЕ

Кратность связи металл–металл в биядерных тетракарбоксилатах переходных элементов $\text{M}_2(\mu\text{-O}_2\text{CH})_4(\text{L})_2$ определяется, прежде всего, природой металла и его степенью окисления. Тетракарбоксилатам с остовом (d^4 — d^4) и электронной конфигурацией $(\sigma)^2(\pi)^4(\delta)^2$ ($\text{M} = \text{Mo, W}$) приписана четверная связь M—M [1]; если же ион металла имеет больше четырех d -электронов, то в комплексе частично заселены молекулярные орбитали, разрыхляющие относительно связи металл–металл, в результате ее кратность понижена по сравнению с максимальным значением 4. Комплексы $\text{Rh}(\text{II}, \text{II})$ с электронной конфигурацией $(\sigma)^2(\pi)^4(\delta)^2(\pi^*)^4(\delta^*)^2$ относят к соединениям с одинарной связью между атомами металла [1—3], а комплексы $\text{Ru}_2(\text{II}, \text{II})$, в которых орбитали π^* и δ^* заселены не полностью, — к соединениям с двойной связью [4, 5].

В работах Норманна и др., базирующихся на расчетах методом рассеянных волн X_α [6, 7], основное состояние комплексов $\text{Ru}_2(\text{II}, \text{II})$ было определено как триплет с конфигурацией $(\sigma)^2(\pi)^4(\delta)^2(\pi^*)^3(\delta^*)^1$, при этом отмечалось, что энергии π^* - и δ^* -орбиталей близки [7]. В расчетах методом ZINDO/S-MRCI [8] для $\text{Ru}_2(\mu\text{-O}_2\text{CH})_4$ получено квинтетное основное состояние с электронной конфигурацией $(\pi^*)^2(\delta^*)^1(\sigma^*)^1$, а для комплексов $\text{Ru}_2(\mu\text{-O}_2\text{CH})_4(\text{L})_2$ ($\text{L} = \text{H}_2\text{O}$, пираzin) — триплетное с конфигурацией $(\pi^*)^2(\delta^*)^2$; в этой же работе методом DFT для всех рассмотренных соединений $\text{Ru}_2(\text{II}, \text{II})$ получено триплетное основное состояние $(\pi^*)^2(\delta^*)^2$ [8]. В недавней публикации [9] электронная связь между металлоцентрами в тетракарбоксилатах $\text{M}_2(\mu\text{-O}_2\text{CH})_4$ ($\text{M} = \text{Mo, Tc, Ru, Rh}$) проанализирована на основе диаграмм орбиталей Кона—Шэма, полученных методом DFT (функционал PW91) с полной оптимизацией геометрии; основное состояние $\text{Ru}_2(\mu\text{-O}_2\text{CH})_4$ было определено как триплет $(\sigma)^2(\pi)^4(\delta)^2(\pi^*)^2(\delta^*)^2(\sigma^*)^0$.

В ходе экспериментальных исследований установлено, что в комплексах $\text{Ru}_2(\mu\text{-O}_2\text{CR})_4(\text{L})_2$ длины связей Ru—Ru, Ru—O_{мост}, Ru—L лишь немного отличаются от соответствующих значений для соединений $\text{Ru}_2(\text{III}, \text{II})$ и мало чувствительны к природе лиганда L и групп R [4]. При-

* E-mail: ovsizova@mail.ru

мечательным исключением из ряда тетракарбоксилатов рутения являются диамагнитные соединения $\text{Ru}_2(\mu\text{-O}_2\text{CR})_4(\text{NO})_2$, в которых длина связи Ru—Ru превышает 2,5 Å [10], что существенно больше, чем в любых других комплексах этого ряда. Подобные структурные отклонения наблюдались и у нитрозотетракарбоксилатов родия [11], квантовохимическому анализу которых посвящена работа [12], выполненная в рамках метода DFT. Увеличение расстояния между атомами металла в каркасе $\text{M}_2(\text{X})_4$ при аксиальной координации NO зафиксировано также у комплексов рутения с N-донорными мостиковыми лигандами, где X — анионы 2-фтороанилинопиридинат (Fap) и дифенилформамидинат (dpf) [13, 14]; в работе [14] удлинение связи металл—металл от 2,444 в $\text{Ru}_2(\text{dpf})_4(\text{NO})$ до 2,632 Å в $\text{Ru}_2(\text{dpf})_4(\text{NO})_2$ соотнесено с уменьшением ее порядка от 1,5 до 1,0.

Комплексам $\text{Ru}_2(\mu\text{-O}_2\text{CR})_4(\text{NO})_2$ на основе предложенной Норманном и др. схемы связи металл—металл была приписана электронная конфигурация с шестью электронами на разрыхляющих MO: $(\sigma)^2(\pi)^4(\delta)^2(\pi^*)^4(\delta^*)^2$ или $(\sigma)^2(\pi)^4(\delta)^2(\delta^*)^2(\pi^*)^4$, что позволило объяснить диамагнетизм этих соединений и увеличение расстояния Ru—Ru до значений, отвечающих одинарной связи [10]. Однако авторы работы [10] отметили, что вследствие близости энергий d-AO Ru и π^* -орбиталей NO картина связи не должна быть столь проста. Согласно *ab initio* расчетам, выполненным с целью интерпретации фотоэлектронных спектров [15]*, основные состояния комплексов $\text{Ru}_2(\mu\text{-O}_2\text{CH})_4$ и $\text{Ru}_2(\mu\text{-O}_2\text{CH})_4(\text{NO})_2$ — триплет $(\sigma)^2(\pi)^4(\delta)^2(\delta^*)^2(\pi^*)^2$ и синглет $(\sigma)^2(\pi)^4(\delta)^2(\delta^*)^2(\pi^*)^4$ соответственно. В обзорной работе [4] нитрозотетракарбоксилаты рутения рассматривали как комплексы с остовом $\text{Ru}_2(\text{I}, \text{I})$ и аксиальными лигандами NO^+ , но автор обзора не исключает возможности их описания как систем с сильным антиферромагнитным взаимодействием между $\text{Ru}_2(\text{II}, \text{II})$ и радикалами $\text{NO}\cdot$.

Цель настоящей работы состояла в том, чтобы на основе квантовохимических расчетов с полной оптимизацией геометрии

- проанализировать корреляции между геометрической и электронной структурой тетракарбоксилатов рутения(II),
- выявить специфику оксида азота(II) как аксиально координированного лиганда.

В качестве объектов расчета были выбраны следующие соединения: $\text{Ru}_2(\mu\text{-O}_2\text{CR})_4$, ($\text{R} = \text{H}$, CH_3 , CF_3); $\text{Ru}_2(\mu\text{-O}_2\text{CH})_4(\text{H}_2\text{O})_2$, $\text{Ru}_2(\mu\text{-O}_2\text{CH})_4(\text{THF})_2$ (THF = тетрагидрофуран); $\text{Ru}_2(\mu\text{-O}_2\text{CR})_4(\text{NO})_2$ ($\text{R} = \text{H}, \text{CH}_3, \text{CF}_3$).

ДЕТАЛИ РАСЧЕТОВ

Расчеты выполнены в рамках теории функционала плотности (DFT) с гибридным функционалом B3LYP [16]. Были использованы два базисных набора: 1) валентный базис LanL2DZ [17, 18] с эффективным потенциалом остова для атома рутения и 2) комбинированный базис: 6-31G** для атомов H, C, N и O и валентный базис SDD с псевдопотенциалом для Ru [19]. Оптимизацию геометрии комплексов во всех случаях проводили без наложения ограничений по симметрии, стационарные точки идентифицировали на основе расчетов колебательного спектра.

Для всех соединений, кроме $\text{Ru}_2(\mu\text{-O}_2\text{CR})_4(\text{NO})_2$, представленные в настоящей работе расчеты методом B3LYP дают триплетное основное состояние с электронной конфигурацией $(\pi^*)^2(\delta^*)^2$ (заселены δ -орбитали, ориентированные между мостиковыми атомами O; δ -орбитали, направленные к атомам O, — вакантны). Выполненные методом CASSCF (12 электронов на десяти орбиталях) в базисе LanL2DZ расчеты комплексов $\text{Ru}_2(\mu\text{-O}_2\text{CR})_4$ и $\text{Ru}_2(\mu\text{-O}_2\text{CR})_4(\text{H}_2\text{O})$ привели к такому же результату. Следует отметить, что в $\text{Ru}_2(\mu\text{-O}_2\text{CR})_4$ оптимизированная методом CASSCF (10 электронов на семи орбиталях) длина связи Ru—Ru, равная 2,416 Å, хуже согласуется с экспериментом, чем рассчитанная методом B3LYP в этом же базисе. В случае $\text{Ru}_2(\mu\text{-O}_2\text{CR})_4(\text{NO})_2$ методом B3LYP получено синглетное основное состояние. Приведенные в таблицах и на рисунках и обсуждаемые далее результаты получены ограниченным (для $\text{Ru}_2(\mu\text{-O}_2\text{CR})_4(\text{NO})_2$) и неограниченным по спину (для всех остальных комплексов) методом B3LYP.

* Оптимизация геометрии не проводилась.

Заряды атомов и заселенности орбиталей рассматривались в рамках: 1) анализа заселенности по Малликену и 2) анализа натуральных атомных орбиталей (NAO) [20]. При описании химических связей наряду с заселенностями перекрывания

$$Q(A - B) = 2 \sum_{\mu \in A} \sum_{v \in B} P_{\mu v} \cdot S_{\mu v}$$

использованы индексы порядков связи, предложенные в качестве связующего звена между квантовой химией и классической теорией строения молекул [21, 22]:

$$B(A - B) = \sum_{\mu \in A} \sum_{v \in B} \left[(PS)_{\mu v} (PS)_{v \mu} + (P^t S)_{\mu v} (P^t S)_{v \mu} \right].$$

Здесь P^α и P^β — матрицы плотности для проекции спинов α и β ; $P = P^\alpha + P^\beta$ — полная матрица плотности; $P^t = P^\alpha - P^\beta$ — матрица спиновой плотности; S — матрица перекрывания. Для синглетных состояний это выражение сводится к

$$B(A - B) = \sum_{\mu \in A} \sum_{v \in B} (PS)_{\mu v} (PS)_{v \mu}.$$

В случае ортогональных базисов порядок связи по Майеру идентичен индексу Вайберга [23]:

$$W(A - B) = \sum_{\mu \in A} \sum_{v \in B} |P_{\mu v}|^2,$$

который рассматривается в качестве индекса связи в базисе NAO. Рассмотрение орбитальной природы связей проводили на основе анализа натуральных орбиталей связей (NBO) [20]. Оптимизацию геометрической структуры и NBO анализ проводили с использованием программного комплекса GAUSSIAN-03 [24]. Расчеты порядков связей по Майеру выполнены по программе PC GAMESS [25, 26], для многоконфигурационных расчетов использовали программы PC GAMESS и GAUSSIAN-03. Для визуализации NBO использовали программу Molekel 4.2 [27], диаграммы MO построены и проанализированы с помощью специально написанной программы MOBuilder.

РЕЗУЛЬТАТЫ И ИХ ОБСУЖДЕНИЕ

Оптимизированные в обоих базисах значения длин связей (табл. 1—3) правильно воспроизводят наблюдаемые соотношения между структурными характеристиками комплексов разного состава; по сравнению с экспериментальными данными для твердой фазы рассчитанные для изолированных комплексов расстояния $r(\text{Ru—Ru})$ завышены (особенно в базисе LanL2DZ) (см. табл. 1). Длины связей Ru—O_{мост} почти одинаковы во всех рассмотренных соединениях:

Таблица 1

Характеристики связи Ru—Ru в Ru₂(μ-O₂CH)₄(L)₂ по результатам расчетов методом B3LYP

Базис	Параметр	Без лиганда			H ₂ O	THF			NO		
		H	CH ₃	CF ₃		H	CH ₃	CF ₃	H	CH ₃	CF ₃
Экспер. [10,28] LanL2DZ	$r(\text{Ru—Ru})$	2,309	2,298	2,323	2,340	2,349	2,336	2,371	2,613	2,593	2,613
	$v(\text{Ru—Ru})$	343	370	340	333	336	357	337	211	(204)	(173)
	$W(\text{Ru—Ru})$	1,26	1,24	1,25	1,16	1,14	1,14	1,096	0,52	0,50	0,51
	$B(\text{Ru—Ru})$	1,87	1,86	1,88	1,78	1,81	1,81	1,758	0,66	0,63	0,65
									2,575	2,558	2,577
SDD/6-31G**	$r(\text{Ru—Ru})$	2,271	2,264	2,276	2,294				220	212	229
	$v(\text{Ru—Ru})$	364	384	369	362				(256)	222	(263)
	$W(\text{Ru—Ru})$	1,30	1,29	1,30	1,20				0,53	0,53	0,53
	$B(\text{Ru—Ru})$	1,91	1,89	1,87	1,83				0,59	0,58	0,56

* Данные для R=Et.

Таблица 2

Характеристики связи Ru—L в $\text{Ru}_2(\mu\text{-O}_2\text{CH})_4(\text{L})_2$ по результатам расчетов методом B3LYP

Базис	Параметр	H_2O		THF			NO		
		H	CH ₃	CF ₃	H	CH ₃	CF ₃		
Экспер. [10,28] LanL2DZ	$r(\text{Ru—L})$			2,390	2,268		1,781	1,790	
	$r(\text{Ru—L})$	2,500	2,321	2,342	2,258	1,839	1,836	1,850	
	$W(\text{Ru—L})$	0,10	0,10	0,094	0,121	1,11	1,13	1,07	
	$B(\text{Ru—L})$	0,24	0,18	0,177	0,211	1,02	1,04	0,96	
SDD/6-31G**	$r(\text{Ru—L})$	2,401				1,821	1,818	1,829	
	$W(\text{Ru—L})$	0,10				1,14	1,16	1,11	
	$B(\text{Ru—L})$	0,32				1,01	1,03	0,96	

Таблица 3

Рассчитанные характеристики связи N—O в молекуле NO, ионах NO^+ и NO^- в комплексе $\text{Ru}_2(\mu\text{-O}_2\text{CH})_4(\text{NO})_2$ по результатам расчетов методом B3LYP

Параметр	Свободный лиганд						$\text{Ru}_2(\text{O}_2\text{CR})_4(\text{NO})_2$					
	Базис LanL2DZ			Базис SDD/6-31G**			Базис LanL2DZ			Базис SDD/6-31G**		
	NO ⁺	NO	NO ⁻	NO ⁺	NO	NO ⁻	R=H	R=CH ₃	R=CF ₃	R=H	R=CH ₃	R=CF ₃
$q(\text{NO})_{\text{Mul}}$	+1	0	-1	+1	0	-1	-0,04	-0,06	0,03	-0,03	-0,06	0,01
$q(\text{NO})_{\text{NAO}}$	+1	0	-1	+1	0	-1	0,07	0,05	0,15	0,07	0,04	0,13
R	1,106	1,199	1,333	1,073	1,159	1,279	1,194	1,198	1,184	1,159	1,162	1,154
$v(\text{N—O})^*$	2219	1770	1290	2480	1991	1467	1729;	1711;	1776;	1883;	1864;	1911;
							1749	1730	1795	1906	1887	1934
$W(\text{N—O})$	2,80	2,09	1,39	2,79	2,10	1,40	1,92	1,90	1,99	1,92	1,90	1,96
$B(\text{N—O})$	2,64	2,11	1,63	2,63	2,16	1,69	1,69	1,67	1,76	1,67	1,65	1,70
$Q(\text{N—O})$	0,79	0,41	0,16	0,96	0,56	0,25	0,54	0,53	0,56	0,58	0,56	0,59

* Для комплексов приведены два значения частот, соответствующие асимметричному и симметричному (запрещенному) колебаниям.

2,10—2,12 Å в базисе LanL2DZ и 2,07—2,11 Å в базисе SDD/6-31G**. Расстояние Ru—Ru мало меняется при варьировании заместителей R; при координации к $\text{Ru}_2(\mu\text{-O}_2\text{CR})_4$ молекул H_2O или THF связь металл—металл удлиняется не более чем на 0,05 Å, в то же время аксиальная координация молекул оксида азота приводит к увеличению рассчитанного значения $r(\text{Ru—Ru})$ на 0,3 Å (см. табл. 1).

И расчетные, и экспериментальные [10] данные указывают на небольшое отклонение связи Ru—N от прямой, соединяющей два атома металла: согласно расчетам, $\angle \text{Ru—Ru—N}$ лежит в интервале 162—165°. В этом же направлении изогнута группировка RuNO, оптимизированные значения угла Ru—N—O в комплексах $\text{Ru}_2(\mu\text{-O}_2\text{CR})_4(\text{NO})_2$:

Базис	R=H	R=CH ₃	R=CF ₃
LanL2DZ	149,84	150,68	152,83
SDD/6-31G**	150,54	148,80	151,79

согласуются с экспериментальными: 152,45° (R=Et) и 152,83° (R=CF₃) [10, 28].

Вычисленные в базисе LanL2DZ значения частот валентных колебаний металл—металл для комплексов $\text{Ru}_2(\mu\text{-O}_2\text{CR})_4$, $\text{Ru}_2(\mu\text{-O}_2\text{CR})_4(\text{H}_2\text{O})_2$, $\text{Ru}_2(\mu\text{-O}_2\text{CR})_4(\text{THF})_2$ лежат в области 340 cm^{-1} , а вычисленные в базисе SDD/6-31G** — 360 cm^{-1} , что согласуется с предложенным в

литературе отнесением этих колебаний к области $\sim 350 \text{ см}^{-1}$ [4, 8, 29]. У нитрозотетракарбоксилатов значения $\nu(\text{Ru}-\text{Ru})$ смещены на $130-140 \text{ см}^{-1}$ в низкочастотную область и заметно смещиваются с деформационными колебаниями каркаса $\text{Ru}_2(\mu-\text{O}_2\text{CR})_4$ (см. табл. 1). Экспериментальные значения $\nu(\text{N}-\text{O})$ равны 1756 см^{-1} для $\text{Ru}_2(\mu-\text{O}_2\text{CCH}_3)_4(\text{NO})_2$ и 1800 см^{-1} для $\text{Ru}_2(\mu-\text{O}_2\text{CCF}_3)_4(\text{NO})_2$ [10].

Согласно расчетам не ограниченным по спину методом B3LYP, выполненным в настоящей работе, основному состоянию $\text{Ru}_2(\mu-\text{O}_2\text{CR})_4$ соответствует конфигурация $(\sigma_\alpha)^1(\sigma_\beta)^1(\pi_\alpha)^2(\delta_\alpha)^1(\pi_\beta)^2(\delta_\beta)^1(\pi^*_\alpha)^2(\delta^*_\alpha)^1(\delta^*_\beta)^1$, описывающая распределение двенадцати электронов по высшим занятым спин-орбиталям, локализованным преимущественно на фрагменте $\{\text{Ru}-\text{Ru}\}$. Квинтетное состояние $(\sigma_\alpha)^1(\sigma_\beta)^1(\pi_\alpha)^2(\delta_\alpha)^1(\pi_\beta)^2(\delta_\beta)^1(\pi^*_\alpha)^2(\delta^*_\alpha)^1(\delta^*_\alpha)^1$ для $\text{Ru}_2(\mu-\text{O}_2\text{CH})_4$ имеет более высокую энергию (на 0,56 эВ выше, согласно расчетам методом B3LYP/LanL2DZ с оптимизацией геометрии). Переход от базиса LanL2DZ к SDD/6-31G** не меняет порядка орбиталей, но приводит к повышению их энергий. Изменение энергий высших занятых орбиталей при варьировании заместителя R определяется его индуктивным эффектом: при замене R = H на R = CF₃ энергия понижается вследствие оттягивания электронной плотности из области связи Ru—Ru на CF₃, а при замене на R = CH₃ — повышается. Ниже приведены рассчитанные значения энергии (эВ) высших занятых спин-орбиталей δ^*_β (или, в случае L=NO, δ^* -орбиталей):

Базис	Без лиганда			L-H ₂ O			L-THF			L-NO		
	H	CH ₃	CF ₃	H	H	CH ₃	CF ₃	H	CH ₃	CF ₃		
LanL2DZ	-5,98	-5,36	-7,76	-5,18	-4,81	-4,35	-6,40	-6,72	-6,23	-8,11		
SDD/6-31G**	-5,52	-4,96	-6,54	-4,89	—	—	—	-6,25	-5,81	-7,05		

При аксиальной координации σ -донорных лигандов H₂O и THF на спин-орбиталах π^*_x и π^*_y по-прежнему находится по одному электрону*, 12 высших занятых спин-орбиталей остаются локализованными на атомах металла, их энергии повышаются по сравнению с $\text{Ru}_2(\mu-\text{O}_2\text{CR})_4$. Таким образом, электронная конфигурация металлокаркаса у $\text{Ru}_2(\mu-\text{O}_2\text{CH})_4(\text{H}_2\text{O})_2$ и $\text{Ru}_2(\mu-\text{O}_2\text{CH})_4(\text{THF})_2$ — $(\pi_\alpha)^2(\sigma_\alpha)^1(\sigma_\beta)^1(\delta_\alpha)^1(\delta_\beta)^1(\pi_\beta)^2(\pi^*_\alpha)^2(\delta^*_\alpha)^1(\delta^*_\beta)^1$, а формальная конфигурация каждого атома рутения — $(\sigma)^1(\pi)^3(\delta)^2$.

Координация оксида азота сопровождается заметными изменениями электронной структуры комплекса: за счет того, что d_π -орбитали рутения смещиваются с π^* -орбиталами NO, вклад d -АО Ru в π^* -орбитали металлокаркаса уменьшается, энергия этих орбиталей понижается, и их полное заселение становится энергетически выгодным (рис. 1, 2, табл. 4). В результате основное состояние имеет замкнутую электронную оболочку с конфигурацией $(\pi)^4(\delta)^2(\pi^*)^4(\sigma)^2(\delta^*)^2$, описывающей распределение четырнадцати электронов по высшим занятым MO, локализованным преимущественно на фрагменте $\{\text{ON}-\text{Ru}-\text{Ru}-\text{NO}\}$. Эта конфигурация отличается от предложенных в работе [10] лишь положением σ -орбитали d_{z^2} (Ru1) + d_{z^2} (Ru2). Следует отметить, что суммарные заселенности σ , π и δ d -АО каждого атома рутения в $\text{Ru}_2(\mu-\text{O}_2\text{CH})_4(\text{NO})_2$ остаются почти такими же, как и в других тетракарбоксилатных комплексах $\text{Ru}_2(\mu-\text{O}_2\text{CH})_4(\text{L})_2$:

Без лиганда			L-H ₂ O			L-THF			L-NO		
σ	π	δ	σ	π	δ	σ	π	δ	σ	π	δ
1,08	3,03	2,74	1,11	3,05	2,56	1,14	3,05	2,56	1,18	3,06	2,60

Повышенная заселенность δ -орбиталей по сравнению с формальным значением 2 для конфигурации $(\sigma)^1(\pi)^3(\delta)^2$ объясняется участием вакантных $d_{x^2-y^2}$ -АО Ru в σ -связи с орбиталами мостика и переносом заряда O→Ru. Порядок высших занятых орбиталей и энергетические интер-

* Здесь и далее предполагается, что линия связи металл—металл совпадает с осью z.

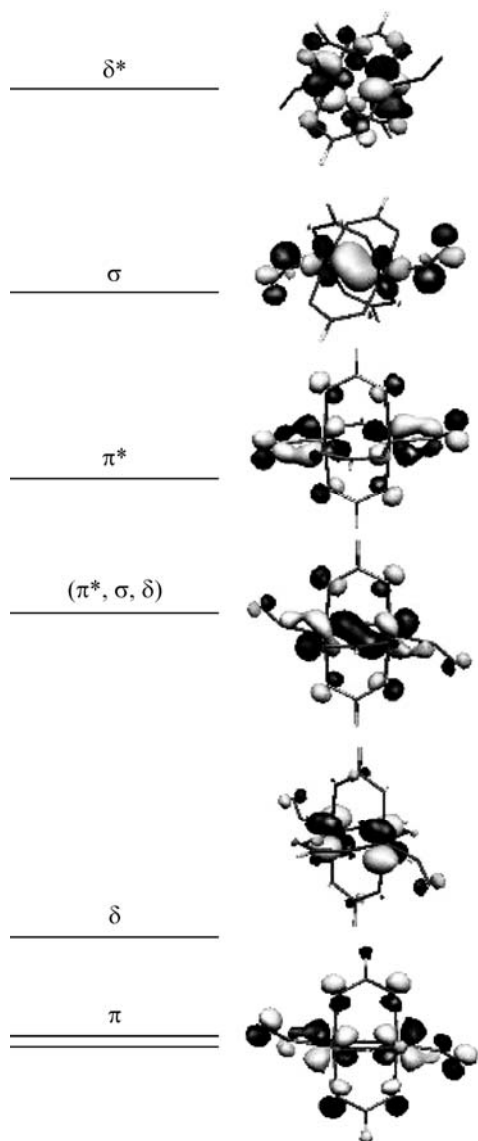


Рис. 1. Высшие занятые орбитали комплекса $\text{Ru}_2(\mu\text{-O}_2\text{CH})_4(\text{NO})_2$

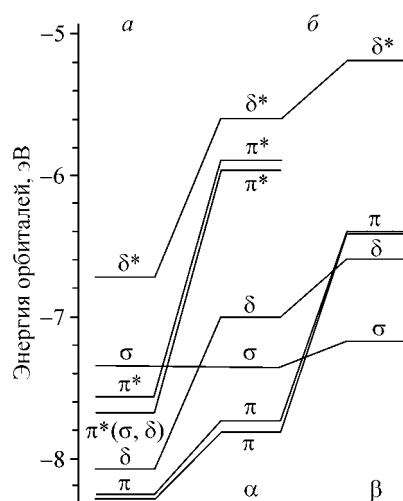


Рис. 2. Диаграммы высших занятых орбиталей комплексов $\text{Ru}_2(\mu\text{-O}_2\text{CH})_4(\text{NO})_2$ (a) и $\text{Ru}_2(\mu\text{-O}_2\text{CH})_4(\text{H}_2\text{O})_2$ (b)

валы между ними у комплексов $\text{Ru}_2(\mu\text{-O}_2\text{CR})_4(\text{NO})_2$ почти одинаковы в базисных наборах LanL2DZ и SDD/6-31G** и мало меняются в зависимости от R.

Все приведенные выше результаты указывают на значительные отличия характеристик геометрической и электронной структуры $\text{Ru}_2(\mu\text{-O}_2\text{CR})_4(\text{NO})_2$ от аналогичных характеристик других тетракарбоксилатов рутения. Наиболее ярко особенности электронной структуры нитрозокомплексов проявляются при рассмотрении индексов связи металл—металл (см. табл. 1) и при анализе натуральных орбиталей связей. Приведенные в табл. 1 индексы связи по Майеру $B(\text{Ru}—\text{Ru})$ и по Вайбергу $W(\text{Ru}—\text{Ru})$ указывают на то, что при координации молекул воды или тетрагидрофурана связь между

Таблица 4

Энергии (ϵ , эВ) высших занятых орбиталей комплексов $\text{Ru}_2(\mu\text{-O}_2\text{CH})_4(\text{L})_2$ и вклады АО металла (m , %) и лиганда L (l , %) по данным расчетов методом B3LYP/LanL2DZ*. Для комплексов с открытыми оболочками приведены результаты для спин-орбиталей со спином α и β

Орбита	Без лиганда				L-H ₂ O						L-THF						L-NO					
	α		β		α			β			α			β								
	ϵ	m	ϵ	m	ϵ	m	l	ϵ	m	l	ϵ	m	l	ϵ	m	l						
π^*	-6,38	85			-5,86	88	2				-5,36	83	8				-7,54	49	27			
π^*	-6,94	85			-5,92	88	2				-5,56	89	0				-7,66	65	11			
δ^*	-6,94	85	-5,97	75	-5,56	74	0	-5,14	78	0	-5,19	75	0	-4,77	78	0	-6,70	69	1			
δ	-7,87	85	-7,45	85	-6,97	86	0	-6,55	86	0	-6,56	77	12	-6,15	86	0	-8,05	75	8			
π	-8,67	32	-7,51	76	-7,71	49	4	-6,37	81	2	-7,67	26	34	-5,78	75	12	-8,24	39	22			
π	-8,67	32	-7,51	76	-7,79	50	1	-6,38	82	1	-7,39	51	0	-5,98	84	0	-8,26	40	20			
σ	-9,54	89	-9,24	92	-7,32	73	18	-7,13	80	14	-6,60	71	6	-6,37	67	30	-7,33	56	41			

* Результаты расчетов по программе GAMESS.

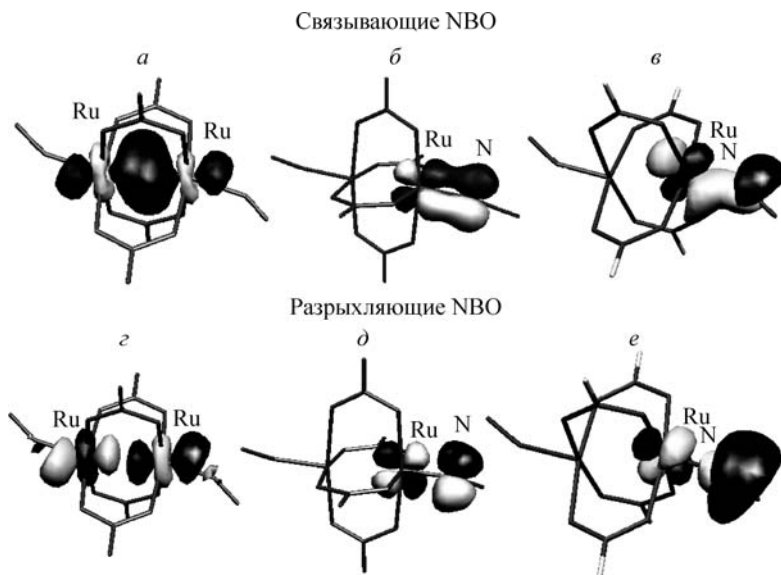


Рис. 3. Натуральные орбитали связи (NBO), ответственные за связи металл—металл (*a*, *ε*) и одного из атомов металла с соседним атомом N (*b*, *δ*, *ε*) в комплексе $\text{Ru}_2(\mu\text{-O}_2\text{CH})_4(\text{NO})_2$

атомами металла немногого ослабляется. В случае оксида азота эти величины поникаются более чем вдвое, что позволяет говорить об изменении кратности связи металл—металл.

Полученные различия позволяют понять анализ натуральных орбиталей связи. Для каждого из соединений $\text{Ru}_2(\mu\text{-O}_2\text{CR})_4$ и $\text{Ru}_2(\mu\text{-O}_2\text{CR})_4(\text{L})_2$ ($\text{R} = \text{H}, \text{CH}_3, \text{CF}_3$; $\text{L} = \text{H}_2\text{O}, \text{THF}$) получено по четыре связывающих однократно заселенных NBO, описывающих двойную связь между металлоцентрами: σ_α и σ_β , образованные d_{z^2} -орбиталями атомов Ru, и две π -NBO (с одинаковыми проекциями спина), образованные орбиталями d_{xz} и d_{yz} . В комплексе $\text{Ru}_2(\mu\text{-O}_2\text{CR})_4$ NBO $\sigma^*(\text{Ru—Ru})$ имеет низкую заселенность. Донорно-акцепторная связь атомов Ru с аксиальными лигандами L осуществляется в основном за счет переноса электронной плотности с неподеленной парой атома кислорода лиганда L на эту NBO, увеличение ее заселенности приводит к небольшому понижению порядка связи металл—металл и увеличению длины (см. табл. 1).

В случае комплексов с $\text{L}=\text{NO}$ картина связи существенно меняется (см. табл. 1, рис. 3):

- отсутствуют NBO π -типа, связывающие атомы металла;
- уменьшается заселенность σ NBO(Ru—Ru) и повышается заселенность σ^* NBO(Ru—Ru), что приводит к заметному ослаблению σ -связи между атомами металла;
- обнаруживаются четыре связывающие и четыре разрыхляющие NBO с участием d_π (d_{xz} и d_{yz}) AO Ru, описывающие связь каждого из атомов металла с координированным к нему лигандом NO.

Электроны на связывающих NBO отвечают за ковалентную составляющую связи между атомами, электроны на разрыхляющих NBO вносят вклад в нековалентные взаимодействия [20]. Заселенность связывающих NBO Ru—N превышает 1,6, разрыхляющих — близка к 0,4*. Полученные результаты свидетельствуют о существенно ковалентном характере π -связей Ru—NO, при образовании которых по одному неспаренному π -электрону от каждой из двух аксиально координированных молекул NO "встраиваются" в группу электронов на высших занятых орбиталях комплекса.

В табл. 3 сопоставлены характеристики связи N—O в комплексах $\text{Ru}_2(\mu\text{-O}_2\text{CR})_4(\text{NO})_2$ и в свободных NO, NO^+ и NO^- . Для NO^+ , NO и NO^- экспериментальные значения $r(\text{N—O})$ равны 1,063, 1,1507 и 1,26 Å соответственно; $v(\text{N—O})$ 2377 см⁻¹, 1904 см⁻¹ [30] (или 1875 см⁻¹ [31]) и 1470 см⁻¹ [30, 31]. Заряды на координированной молекуле NO (см. табл. 3) по абсолютной ве-

* В среднем для расчетов в двух базисах.

личине не превышают 0,1 ед. заряда электрона. Межъядерное расстояние $r(\text{N}-\text{O})$, частота валентного колебания $\nu(\text{N}-\text{O})$, индекс Вайберга $W(\text{N}-\text{O})$ и заселенность перекрывания $Q(\text{N}-\text{O})$ для $\text{Ru}_2(\mu\text{-O}_2\text{CR})_4(\text{NO})_2$ близки к соответствующим значениям для свободной незаряженной молекулы NO; значения порядков связи по Майеру лишь немного отличаются от соответствующих величин для NO^- . Ни одна из рассмотренных характеристик не согласуется с интерпретацией комплексов $\text{Ru}_2(\mu\text{-O}_2\text{CR})_4(\text{NO})_2$ как соединений $\text{Ru}(\text{I}, \text{I})$ и NO^+ .

Все изложенное позволяет говорить о сильном "вмешательстве" орбиталей координированной молекулы NO в электронную структуру металлокаркаса Ru—Ru, сопровождающем разрушением π -связей металл—металл и переориентацией d_π -орбиталей рутения на образование ковалентных связей Ru—NO. Уникальная способность оксида азота к π -связыванию с ионами переходных металлов хорошо известна. Если d -орбитали металла и π^* -орбитали NO близки по энергии, они сильно смешиваются, и электронную пару образовавшейся связи становится невозможно однозначно приписать иону металла или NO. В 1966 г. Йоргенсен [32] назвал лиганды, присутствие которых в координационной сфере не позволяет определить степень окисления металла по формальным правилам, "неинноцентными", а в качестве простейшего примера привел оксид азота в составе моноядерных нитрозокомплексов. В биядерных нитрозотетракарбоксилатах комплексах "неинноцентность" оксида азота проявилась особенно ярко, поскольку включение орбиталей этого лиганда в молекулярные орбитали, обеспечивающие связь металл—металл, затрагивает все основные характеристики этой связи и обусловленные ими свойства.

Работа выполнена при поддержке Российского фонда фундаментальных исследований (грант № 05-03-32463).

СПИСОК ЛИТЕРАТУРЫ

1. Cotton F.A., Walton R.A. *Mulpiple Bonds between Metal Atoms*, 2-nd Ed., Ch. 7. – Oxford: Clarendon Press, 1993.
2. Felthouse T.R. // Prog. Inorg. Chem. – 1982. – **29**. – P. 73.
3. Boyar E.B., Robinson S.D. // Coord. Chem. Rev. – 1983. – **50**, N 1–2. – P. 109 – 208.
4. Aquino M.A.S. // Ibid. – 1998. – **170**, N 1. – P. 141 – 202.
5. Aquino M.A.S. // Ibid. – 2004. – **248**, N 1. – P. 1025 – 1045.
6. Norman J.G.Jr., Kolari H.J. // J. Amer. Chem. Soc. – 1978. – **100**, N 3. – P. 791 – 799.
7. Norman J.G.Jr., Renzoni G.E., Casel D.A. // Ibid. – 1979. – **101**, N 18. – P. 5256 – 5267.
8. Estiu G., Cukiernik F.D., Maldivi P., Poizat O. // Inorg. Chem. – 1999. – **38**, N 13. – P. 3030 – 3039.
9. Bursten B.E., Chisholm M.H., D'Acchioli J.S. // Ibid. – 2005. – **44**, N 16. – P. 5571 – 5579.
10. Lindsay A.J., Wilkinson G., Motlevalli M., Hursthouse M.B. // J. Chem. Soc. Dalton Trans. – 1987. – **1**, N 11. – P. 2723 – 2736.
11. Hilderbrand S.A., Lim M.H., Lippard S.J. // J. Amer. Chem. Soc. – 2004. – **126**, N 15. – P. 4972 – 4978.
12. Sizova O.V. // J. Mol. Struct. (Theochem). – 2006. – **760**, N 1. – P. 181 – 185.
13. Quelch G.E., Hillier I.H., Guest M.F. // J. Chem. Soc. Dalton Trans. – 1990. – **1**, N 10. – P. 3075 – 3081.
14. Bear J.L., Wellhoff J., Royal G. et al. // Inorg. Chem. – 2001. – **40**, N 10. – P. 2282 – 2286.
15. Han B., Shao J., Ou Z. et al. // Ibid. – 2004. – **43**, N 24. – P. 7741 – 7751.
16. Becke A.D. // J. Chem. Phys. – 1993. – **98**, N 7. – P. 5648 – 5652.
17. Wadt W.R., Hay P.J. // Ibid. – 1985. – **82**, N 1. – P. 284 – 298.
18. Hay P.J., Wadt W.R. // Ibid. – P. 299 – 310.
19. Andrae D., Haussermann U., Dolg M. et al. // Theor. Chim. Acta. – 1990. – **77**, N 1. – P. 123 – 141.
20. Reed A.E., Curtiss L.A., Weinhold F. // Chem. Rev. – 1988. – **88**, N 6. – P. 899 – 926.
21. Mayer I. // Int. J. Quant. Chem. – 1986. – **29**, N 1. – P. 73 – 84.
22. Mayer I. // Ibid. – P. 477 – 483.
23. Wiberg K.A. // Tetrahedron. – 1968. – **24**, N. 3. – P. 1083 – 1096.
24. Frisch M.J., Trucks G.W., Schlegel H.B. et al. Gaussian, Inc., Pittsburgh PA, 2003.
25. Schmidt M.W., Baldrige K.K., Boatz J.A. et al. // J. Comput. Chem. – 1993. – **14**, N 11. – P. 1347 – 1363.
26. Granovsky A. PC GAMESS. Version 6. 4. – Moscow: Moscow State Univ., 2004.
27. (a) Flukiger P., Luthi H.P., Portmann S., Weber J. MOLEKEL 4. 3, Swiss Center for Scientific Computing, Manno (Switzerland), 2000–2002; (b) Portmann S., Luthi H.P. MOLEKEL: an interactive molecular graphics tool. *Chimia* 54 (2000) 766.
28. Lindsay A.J., Tooze R.P., Motlevalli M. et al. // Chem. Commun. – 1984. – P. 1383.
29. Chisholm M.H., Christou G., Folting K. et al. // Inorg. Chem. – 1996. – **35**, N 12. – P. 3643 – 3658.
30. Молекулярные постоянные неорганических соединений. / Под ред. К.С. Краснова. – Л.: Химия, 1979.
31. McCleverty J.A. // Chem. Rev. – 2004. – **104**, N 2. – P. 403 – 418.
32. Jorgensen C.K. // Coord. Chem. Rev. – 1966. – **1**, N 1. – P. 164 – 178.